

## مطالعه آثار هیستوپاتولوژیک فیومهای جوشکاری الکتریکی در برونشیولها و ریه موش صحرایی (Rat)

محمد رضا عرب.<sup>\*</sup> Ph.D., فریبا کاکری.<sup>\*\*</sup> M.D., فریدون سر گلزاری اول.<sup>Ph.D.</sup>

\* گروه علوم تشریحی دانشکده پزشکی دانشگاه علوم پزشکی زاهدان

\*\* بیمارستان علی بن ابیطالب علیه السلام دانشگاه علوم پزشکی زاهدان

تاریخ وصول: مهرماه ۸۴، تاریخ پذیرش: آذرماه ۸۴

### چکیده

هدف: شناسایی تغییرات کمی و کیفی برونشیولها و آلوئلهای ریوی پس از مواجهه با این آلاینده‌ها مواد و روشها: در این مطالعه که به روش تجربی انجام شده، تعداد ۶۰ سر موش صحرایی نر از نژاد Sprague Dawley انتخاب و به دو گروه آزمایش (۴۰ سر) و شاهد (۲۰ سر) تقسیم شدند. هر کدام از گروههای آزمایش و شاهد به زیر گروههای ۲، ۴، ۶ و ۸ هفتاهی تقسیم شدند. موشهای گروه آزمایش به مدت ۲ ساعت در روز و ۵ روز اول هفته در معرض آلاینده‌های جوشکاری قرار گرفتند. با توجه به گروه‌بندی از موشهای آزمایش و شاهد در زمان مقرر نمونه‌گیری و مطابق روشهای معمول بافت‌شناسی پاساژ داده شد و برشهای گرفته شده از بلورهای پارافینی با رنگ آمیزیهای هماتوکسیلین و اتوژین، پاس، وان گیسون، آلسین بلور با  $pH=2.5$  و لکتینهای PNA & WGA مطالعه شدند. ضخامت پوشش تنفسی در برونشیولها اندازه‌گیری شد و اطلاعات به کمک آزمون کروسکال والیس تجزیه و تحلیل شدند. میزان ذرات معلق و گازهای جوشکاری در اتفاق گاز اندازه‌گیری شد.

یافته‌ها: نتایج این مطالعه بهم ریختگیهای شدیدی را در پوشش تنفسی برونشیولها از نظر هیپرکرومایزی هسته‌ای، جابجاگایی هسته‌ها و هم چنین نظم آلوئلهای ریوی نشان داد. وضعیت سلولهای پوششی از نظر قطبیت سلولی و هم چنین سلولهای جامی شکل از نظر گلیکوزآمینوگلیکانها تغییر نشان داد. افزایش میزان رشته‌های کلژن در اطراف برونشیولها و عروق خونی نشان دهنده تغییرات فیبروتیک بافت ریوی بود. اختلاف ضخامت پوشش تنفسی میان گروههای آزمایش و شاهد ۴ و ۸ هفتاهی از نظر آماری معنی دار بود ( $P<0.02$ ).

نتیجه‌گیری: به نظر می‌رسد پاسخ برونشیولها و آلوئلهای جوشکاری از یک روند تطبیقی تبعیت می‌کند، که شدت این پاسخها با افزایش زمان بیشتر می‌شود.

کلیدواژه‌ها: آلاینده‌های جوشکاری، فیبروزیس، برونشیول، آلوئل

آدرس مکاتبه: زاهدان، میدان مشاهیر، دانشکده پزشکی، بخش بافت‌شناسی،  
E-mail: mr\_arabz@yahoo.com صندوق پستی ۹۸۱۶۵-۴۹۳

## مقدمه

مثل ایترولوکینها می‌شوند، آزاد شدن این عوامل می‌تواند علت بخشی از مهار پاسخهای ایمنی و افزایش احتمال بروز عفونتهای جدید در ریه باشد [۵]. مطالعات اپیدمیولوژی نشان داده اند که این گازها و ذرات فلزی معلق می‌توانند سلامت کارگران را به طور جدی به خطر اندازند [۶]. شناسایی آثار مضر این گازها و ذرات معلق فلزی و به خطر افتادن سلامت کارگران می‌تواند زنگ خطری باشد برای مدیران کارگاهها و کارخانه‌ها، چرا که مطالعات نشان داده است که با ارتقای سیستمهای تهويه در کارگاهها می‌توان خطرات آلودگی با این فيومها را کاهش داد [۷]. مطالعات جانگ (Jang) و همکاران نشان داده است که افزایش میزان ازن می‌تواند باعث افزایش میزان نوتروفیلها در مایع برونکوآلئولار شود. ازن یکی از اکسید کننده‌های قوی موجود در فيومها جوشکاری است که همچنین می‌تواند سبب افزایش میزان پرولیفراسیون سلولهای اپی تلیومی آلئولها شود که این افزایش کاملاً وابسته به دوز بوده و می‌تواند در شرایط حاد منجر به انسداد مجاری هوایی شود [۸]. از آنجا که اپی تلیوم تنفسی به عنوان اولین سد فیزیکی است که با این فيومها تماس پیدا می‌کند، بنابراین توجه به آن برای درک بیشتر فیزیوپاتولوژی بیماریهای شغلی منطقی به نظر می‌رسد، بنابراین هدف این مطالعه شناسایی تغییرات کمی و کیفی برونشیولها به عنوان یکی از بخشهای مهم و حساس مجاری هدایتی هوا پس از مواجهه با این فيومها در یک مدل تجربی در شرایط کاملاً کنترل شده از نظر میزان آلودگی با این گازها و ذرات فلزی معلق بود.

## مواد و (وشها)

تعداد ۶۰ سر موش صحرایی از نژاد Sprague Dawley با وزن  $20 \pm 20$  گرم انتخاب شدند و در ۲ گروه آزمایش (۴۰ سر) و شاهد (۲۰ سر) قرار گرفتند. هر کدام از زیر گروههای آزمایش و کنترل به چهار زیر گروه ۲، ۴، ۶ و ۸ هفت‌های تقسیم شدند. تعداد موشها در هر زیر گروه شاهد و آزمایش به ترتیب ۵ و ۱۰ سر بود. حیوانات پس از سازش در محیط زندگی در شرایط استاندارد از نظر درجه حرارت ( $22 \pm 2$

亨گام جوش قطعات فلزی به همدیگر به کمک جریان الکتریکی معمولاً گازهایی مثل ازن، دی اکسید کربن، مونو اکسید کربن، مونو اکسید نیتروژن و دی اکسید نیتروژن از محل جوشکاری متصاعد می‌شود که سبب افزایش میزان این آلاینده‌ها در محیط کاری کارگران می‌شود؛ آنچنان که میزان بخارات فلزی متصاعد شده هنگام جوشکاری که علت آن افزایش درجه حرارت فلز تا  $400^{\circ}\text{C}$  سانتی‌گراد است، سبب افزایش میزان بخارات عناصر فلزی معلق مثل روی، آهن، مس و منگنز در هوای تنفسی می‌شود [۱]. اپی تلیوم تنفسی به عنوان یک سد فیزیکی - فیزیولوژیکی عمل می‌کند که نقش مهمی در پاسخ به این فيومها دارد و همچنین واسطه عملکردی داروها نیز است. مطالعات نشان داده‌اند که این پوشش همراه با سلولهای موجود در آن ضمن ایفای نقش مهمی در فیزیولوژی طبیعی تنفس، دچار تغییرات فراوانی در حالت بیماری از جمله آسم می‌شوند [۲]. مطالعات نشان داده‌اند که فیومها جوشکاری با انهدام پوشش مخاطی موجب آزاد شدن مدیاتورهای التهابی فراوانی می‌گردند که سبب انسداد شدید مجاری هوایی می‌شود که این عارضه در بیماران قلبی - عروقی و ریوی نمود شدیدتری پیدا می‌کند. یکی دیگر از مکانیسمهای ایجاد ضایعه در ریه متعاقب تاثیر ذرات فلزی معلق، رها شدن رادیکالهای آزاد از پلی مورفونوکلترها مخصوصاً نوتروفیلها است. این رادیکالهای آزاد بیان بیشتری از سیتوکاینها و آنزیمهای آنتی اکسیدان را موجب می‌شوند [۳ و ۴]. مطالعه تیلور (Taylor) و همکاران، افزایش میزان عناصر التهابی و انهدام سد خونی - ریوی را متعاقب تاثیر گازهای جوشکاری بر ریه نشان داده است. انهدام این سد خونی ریوی سبب نشت مقداری آلبومین به فضای خارج عروقی می‌شود [۳]. تحریکات مخاطی گازهای جوشکاری، سبب بروز برونشیتی‌های مزمن در کارگران جوشکاری می‌شود [۳]. به نظر می‌رسد تحریکات مخاطی فيومها موجب مهاجرت سلولهای التهابی به ریه‌ها و آزاد شدن مدیاتورهایی

۰/۱ mg/m<sup>3</sup> اندازه گیری و ثابت نگهداری شد [۹]. با توجه به جدول زمانی از موشهای گروه کنترل و آزمایش نمونه گیری شد. این نمونه‌ها مطابق روش معمول در بافت شناسی پاساژ داده شدند و از بلوک‌های پارافینی تهیه شده، مقاطعی با ضخامت ۵-۷ میکرومتر تهیه شد و با روش‌های هماتوکسیلین اوزین، پاس و ون گیسون و لکتینهای PNA و WGA و آلسین

درجه سانتیگراد)، میزان رطوبت ۵۰-۴۵ درصد دسترسی آزاد به آب و مواد غذایی و ۱۲ ساعت روشنایی، ۱۲ ساعت تاریکی قرار گرفتند. موشهای گروه آزمایش به مدت ۲ ساعت (ساعات ۱۴-۱۶)، ۵ روز اول هفته (شنبه تا چهارشنبه) درون اتاق گازی با حجم حدود یک متر مکعب در معرض فیومهای جوشکاری قرار گرفتند. سرعت جوشکاری با

جدول ۱ مقایسه متوسط ضخامت پوشش تنفسی برونشیولها در موش صحرایی پس از مواجهه با فیومهای

## حاصل از جوش الکتریکی آهن

۸ هفته		۶ هفته		۴ هفته		۲ هفته		گروهها
آزمایش	شاهد	آزمایش	شاهد	آزمایش	شاهد	آزمایش	شاهد	
۱۶/۵۷	۱۲/۱۴	۱۵/۴۷۵	۱۵/۶	۱۷/۲۵	۱۲/۷	۱۵/۹	۱۳/۴۲۵	ضخامت پوشش تنفسی به میکرومتر
۵/۶	۲/۹۲۵	۴/۴۷۰	۲/۹۰	۴/۰۵	۲/۲۵	۲/۲۰	۲/۶	انحراف معیار
P<0.02		N S		P<0.000		N S		ارزش عددی (p)

NS=nonsignificant

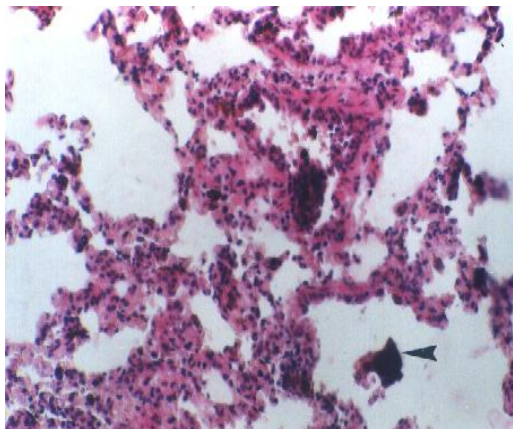
بلو pH=۲/۵ رنگ آمیزی شدند. بعد از کالبیراسیون میکروسکوپ KF2 Zeiss به کمک اکولر مدرج و خط کش میکرومتری اقدام به اندازه گیری ضخامت اپی تیلیوم تنفسی در برونشیولها با ابزکتیو ۴۰ شد. اطلاعات به دست آمده با نرم افزار آماری SPSS (ver. 10) به کمک آزمونهای کروسکال و الیس و مان ویتنی آنالیز شد و P<0.05 معنی دار تلقی شد.

**یافته‌ها**

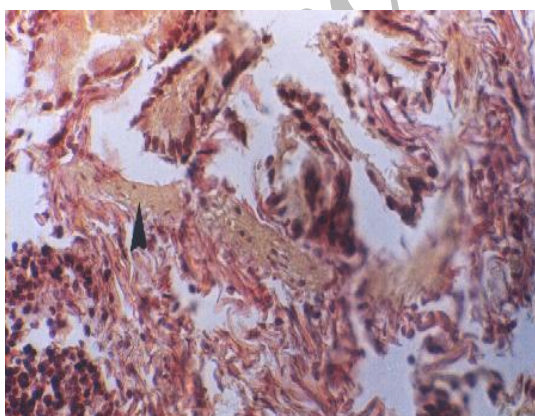
از هم گسیختگیهای سلولهای پوشش تنفسی در برونشیولها همراه با ریزش سلولهای در حال مرگ، از بین رفتن قطبیت سلولی از نظر اسیدوفیلی و بازووفیلی نواحی مختلف سیتوپلاسم و همچنین هایپرکرومی هسته‌ها و جابه‌جا شدن موقعیت مکانی آنها از ناحیه قاعده‌ای سلول و افزایش تعداد

الکترودها، ۰/۱ سانتیمتر بر دقیقه و سرعت تعویض هوای درون اتاق ۱۲-۱۵ بار در ساعت ثابت نگهداری شد. الکترودهای مورد استفاده الکترودهای آما ۲۰۰۰ و شدت جریان الکتریکی ۱۰۰ آمپر بود. میزان گازهای دی اکسید کربن، مونواکسید کربن، دی اکسید و مونواکسید نیتروژن در هوای تنفسی درون اتاق پس از اندازه گیری با دستگاه ۸.28 ppm (Gastec, GV100s Japan) به ترتیب به میزان 26.6ppm, 592ppm, 0.6ppm میزان عناصر فلزی معلق در هوای تنفسی درون اتاق گاز با کمک فیلترهای استاندارد (SKC, England) و پمپهای نمونه بردار فردی (SKC, EX96D, 2102 England) و دستگاه جذب اتمی برای عناصر فلزی آهن، منگنز، مس و روی به ترتیب به میزان ۰/۱۵ mg/m<sup>3</sup>, ۰/۴ mg/m<sup>3</sup>, ۰/۰۲ mg/m<sup>3</sup> و

نسبت به دیگر گروهها بیشتر بود. (شکل‌های ۵ تا ۸) نتایج حاصل از اندازه‌گیریهای کمی با تست غیر پارامتری کروسکال والیس نشان داد که ضخامت اپی تلیوم تنفسی در برونشیولها در گروه جوشکاری نسبت به شاهد تغییر می‌یابد و این تغییر از نظر آماری معنی دار است ( $P<0.000$ ). آنالیز دو به دوی اطلاعات به کمک آزمون مان ویتنی نشان داد که اختلاف ضخامت اپی تلیوم میان گروههای شاهد و جوشکاری ۴ هفته‌ای و شاهد و جوشکاری ۸ هفته‌ای از نظر آماری معنی دار است ( $P<0.02$ ).

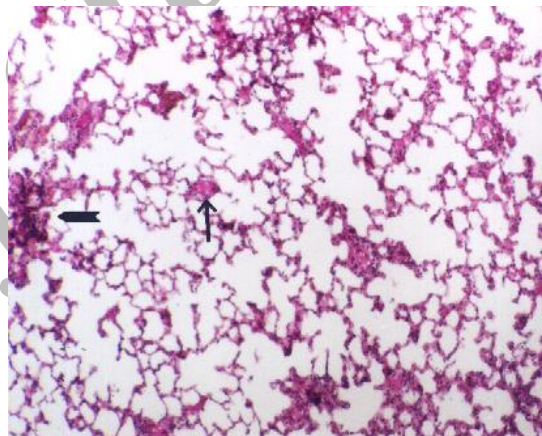


شکل ۲. از بین رفتن شدید نظم آلوئی همراه با افزایش تعداد ماکروفازها (نوک فلش) در ریه، نمونه‌ای از گروه جوشکاری ۸ هفته‌ای نشان داده شده است. رنگ‌آمیزی: پاس، بزرگنمایی:  $\times 212$

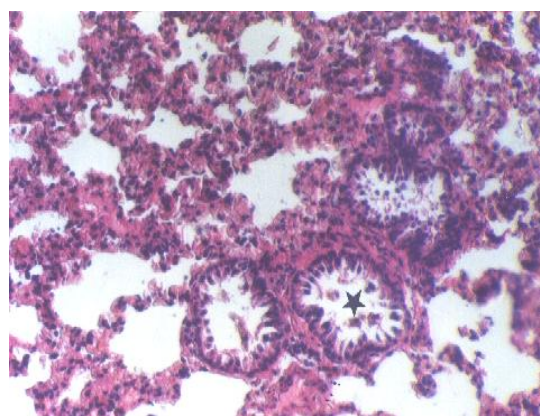


شکل ۴، واکنش بافت ریوی به رنگ‌آمیزی وان گیسون (نوک فلش) برای نشان دادن رشته‌های کلاژن در ریه، نمونه‌ای از گروه جوشکاری ۸ هفته‌ای نشان داده شده است. رنگ‌آمیزی وان گیسون، بزرگنمایی:  $\times 212$

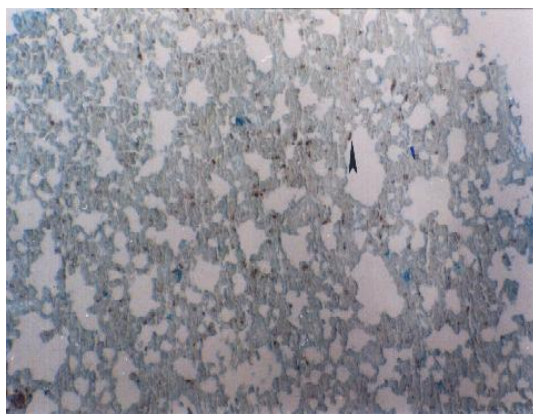
سلولهای جامی از یافته‌هایی بود که در گروههای جوشکاری نسبت به گروههای شاهد کاملا مشهود بود (شکل‌های ۱ تا ۴). از بین رفتن نظم آلوئولی و همچنین دیواره‌های بین آلوئولی همراه با افزایش تعداد ماکروفازها از یافته‌هایی بود که در آلوئولهای نمونه‌های جوشکاری نسبت به شاهد قابل مشاهده بود. افزایش تعداد سلولهای التهابی و تغییر واکنش سلولهای جامی شکل و سلولهای استوانه‌ای به لکنیها در گروه جوشکاری نسبت به شاهد و افزایش میزان رسوب مواد پاس مثبت در بافت بینایی‌بینی ریه از دیگر یافته‌های این تحقیق بود. شدت این تغییرات در تمام مواد فوق در گروههای ۸ هفته‌ای



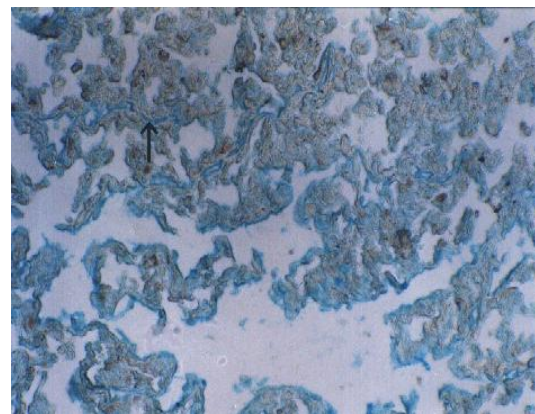
شکل ۱. شروع روند تغییرات واکنشی ریه‌ها به فیومهای جوشکاری (فلش ضخیم) و رسوب مواد پاس مثبت (فلش نازک) در ریه، نمونه‌ای از گروه جوشکاری ۲ هفته‌ای نشان داده شده است. رنگ‌آمیزی: پاس، بزرگنمایی:  $\times 125$



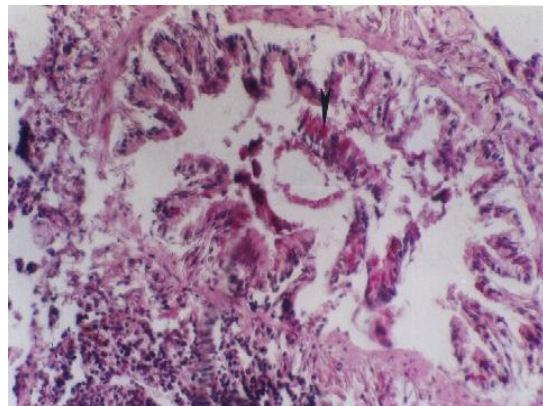
شکل ۲. حذف مژهای راسی همراه با از هم گسیختگی سلولی در پوشش برونشیول انتهایی (ستاره) در پاسخ به فیومهای جوشکاری در ریه، نمونه‌ای از گروه جوشکاری ۸ هفته‌ای نشان داده شده است. رنگ‌آمیزی: پاس، بزرگنمایی:  $\times 212$



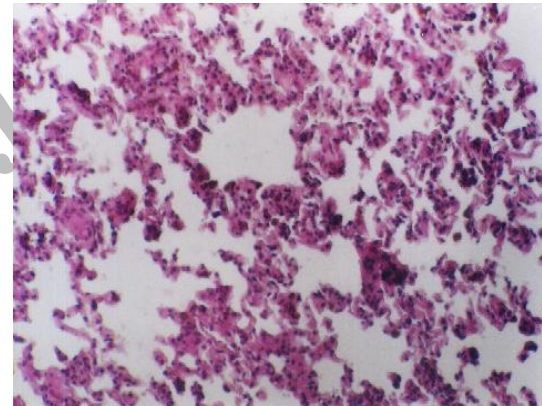
شکل ۶. کاهش پاسخ داربست ریه به آلسین بلو و پاسخ سلولهای پنوموسیتی به صورت پراکنده به لکتین (فلش) در ریه. نمونه‌ای از گروه جوشکاری ۶ هفت‌ای نشان داده شده است. رنگ‌آمیزی: PNA/Alcian blue (pH=2.5)، بزرگنمایی:  $\times 312$



شکل ۵. پاسخ داربست ریه به رنگ‌آمیزی آلسین بلو (فلش) برای ترکیبات اسیدی گلیکوز‌آمینوگلیکان در ریه. نمونه‌ای از گروه کنترل ۴ هفت‌ای نشان داده شده است. رنگ‌آمیزی: PNA/Alcian blue (pH=2.5)، بزرگنمایی:  $\times 312$



شکل ۸. انفیلتراسیون سلولهای آماسی در دیواره برونشیولها همراه با پاسخ پاس مثبت ساولهای جامی شکل در پوشش تنفسی برونشیولها (نوک فلش) در ریه. نمونه‌ای از گروه جوشکاری ۸ هفت‌ای نشان داده شده است. رنگ‌آمیزی پاس، بزرگنمایی:  $\times 125$



شکل ۷. از هم گسیختگی دیواره‌های آلوئی و افزایش تعداد ماکروفازها در ریه. نمونه‌ای از گروه جوشکاری ۸ هفت‌ای نشان داده شده است. رنگ‌آمیزی: پاس، بزرگنمایی:  $\times 125$

سلولهای پوششی در برونشیولها است. همچنین افزایش میزان رشتہ‌های کلاژن رنگ شده با رنگ‌آمیزی وان گیسون در این مطالعه، می‌تواند نشان دهنده تغییرات فیبروتیک بافت ریوی باشد. افزایش تعداد ماکروفازهای آلوئولی و افزایش میزان سلولهای التهابی در اطراف مجاری هدایتی هوا و دیواره‌های بین آلوئولی نشان دهنده نیاز ریوی موجود به Clearnce بالا برای مقابله با این فیومها است. مطالعات وارکس (Warks) و همکارانش نشان داده است که افزایش میزان گازهای نیتروژن می‌تواند سبب افزایش میزان مهاجرت سلولهای التهابی به

## بحث

نتایج حاصل از این مطالعه نشان داد که با این میزان آلوودگی فیومها که بالاتر از حد استاندارد است، تغییرات کمی و کیفی فراوانی در اپی تلیوم تنفسی برونشیولها و همچنین ترکیب و نظم آلوئولی به وجود می‌آید. تغییراتی مانند هایپرکرومازی هسته‌ای، جابه‌جایی هسته‌ها، از بین رفتگ پولاریته سلولهای پوششی و تغییر ماهیت موکوبی ساکاریدهای سلولهای جامی شکل در پوشش تنفسی نشان از تغییرات دیسپلاستیک این اپی تلیوم دارد. به علاوه ریزش سلولی زیاد نشان دهنده نکروز

از تباکو و گازهایی مثل SO<sub>2</sub> که از سوختهای فسیلی منشا می‌گیرند می‌توانند ماهیت ترکیبات موکوسی در سلولهای جامی شکل را تعییردهند [۲]. افزایش ضخامت اپی تلیوم تنفسی گزارش شده در این مطالعه همراه با افزایش میزان ریزش سلولهای پوشش تنفسی در برونشیولها می‌تواند انعکاسی از افزایش میزان تقسیم سلولی در این پوشش و نکروز بافتی حاصل از تاثیر گازهای آلوده کننده مثل ازن باشد. این یافته‌ها با نتایج جانگ (Jang) و همکاران مطابقت دارد [۸]. مطالعات اپیدمیولوژیک نشان داده اند که آلاینده‌های موجود در هوای تنفسی می‌توانند موجب تشدید واکنشهای التهابی در ریه‌ها و همچنین تشدید پاسخهای آلرژیک در افراد مستعد شوند. بنابراین به نظر می‌رسد شناسایی دقیق تغییرات سلولی و ماتریکس خارج سلولی از نظر کمی و کیفی در ریه‌ها متعاقب تاثیر این آلاینده‌ها درک ما را از روند ایجاد بیماریهای شغلی افزایش داده و بدین ترتیب امکان درمان این بیماریها را فراهم می‌آورد.

## تقدیر و تشکر

نویسنده‌گان مقاله از همکاری شورای محترم پژوهشی دانشگاه علوم پزشکی زاهدان، آزمایشگاه بهداشت محیط دانشگاه تربیت مدرس و مرکز تحقیقات دانشگاه علوم پزشکی زاهدان و کتابخانه مرکزی و بخش ایترنوت دانشگاه تشکر و قدردانی می‌نمایند.

## References

- Eraharbor GE, Fatusis Ombe OB.** Pulmonary functional impairment in Arc welders in Ile Ife Nigeria. Med . East Afr 2001; 78(9): 461-4.
- Darryl A, Knight DA, Tolgate ST.** The airway epithelium: Structural and functional properties in health and disease. Respirology 2003; 8: 432-46.
- Taylor MD, Roberts JR, Leonard SS, Xiaglin S, Antono M.** Effects of welding fumes of differing

منطقه و همچنین کاهش ایندکسهای اسپیرومتری شود [۱۰]. شاید بخشی از التهاب مشاهده شده در این مطالعه حاصل تاثیر گازهای نیتروژن بر مجاری هوایی و ریه‌ها است. البته نکروز و ریزش سلولی مشاهده شده در این مطالعه نیز می‌تواند حاصل آثار مخرب ذرات فلزی معلق موجود در هوای آلوده نیز باشد. این موضوع با نتایج مطالعه یو (Yu) و همکاران مطابقت دارد. این مطالعه نشان داده است که مهاجرت سلولهای التهابی به منطقه آسیب دیده معمولاً باعث آزاد شدن مدیاتوهازی می‌شود که می‌تواند افزایش ضخامت ایترالوئلارسپتاها را موجب شود و موجود را برای ابتلای ناشی از تاثیر دیگر عوامل پاتوزن مستعد کند [۱۱]. نتایج این مطالعه نشان داد که ضخامت اپی تلیوم تنفسی متعاقب تاثیر گازهای جوشکاری از نوعی روند افزایشی تبعیت می‌کند. به علاوه افزایش شدت واکنشهای بافتی از جمله افزایش ماکروفازهای ریوی و عناصر التهابی و یا بروز واکنشهای فیبروتیک در اطراف برونشیولها و عروق خونی در گروههای آزمایش بازمان مواجهه بیشتر با نتایج مطالعه یو (Yu) و همکاران مطابقت دارد [۱۲].

نتایج این مطالعه نشان داد که ماتریکس خارج سلولی بافت بینایی ریه و موکوپلی ساکاریدهای سلولهای جامی شکل در پوشش تنفسی در ریه تغییر پیدا می‌کند و رسوب عناصر پاس مثبت در استرومای ریه افزایش می‌یابد تا حدی که منجر به ایجاد تشکیلات گرانولوماتی در ریه می‌شود. این یافته‌ها با نتایج مطالعه داریل (Darryl) و همکاران مطابقت دارد. در این مطالعه تأکید شده است که گازهای متصاعد شده

composition and solubility on free radical production and acute lung injury and inflammation in Rats. Toxicol Sci 2003; 75(1): 81-91.

- Donaldson K, Mancnee W.** The mechanism of lung injury caused by particulate matter in air pollution and health. Issues Environ Sci Technol 1998; 10: 21-33.
- Antoni JM, Taylor MD, Millechial Bebout AR,**

- Robert JR.** Suppression in lung defense responses after bacterial infection in Rats, pretreated with different welding fumes. *J Appl pharmacol.* 2004; 200(3): 206-18.
6. **Broksall L.** Health risk of occupational exposure in welding process. *Acta Medica* 2003; 46(1): 31-5.
7. **Kroczynski RE.** Occupational health concerns in the welding industry. *Appl Occ Environ Hyg* 2000; 15(12): 936-45.
8. **Jang AS, Choi As, Koh YI, Park CS, Lee JS.** The relationship between alveolar epithelial proliferation and airway obstruction after ozone exposure. *Allergy* 2002; 57: 737-40.
9. **Sung JH, Chio BG, Meang SH, Kim SJ, Chung YH, Man JH.** Recovery from welding fume exposure induced lung fibrosis and pulmonary changes in Sprague Dawley Rats. *Toxicol Sci* 2004; 82(2): 608-13.
10. **Kenneth W, Cecill F, Warner W.** Air pollution its origin and control. 3th edition. Addissin Welley 1988, pp 1-57.
11. **Yu IJ, J KIM, HK Chang, Han KT.** Pattern of deposition of stainless steel welding fumes particle inhaled into respiratory system of Sprague Dawley Rats exposed to a novel welding fumes generation system. *Toxicol Letters* 2000, pp 103-11.
12. **Yu Se, Song KS, Chang HK, Han JH, Kim KJ.** Lung fibrosis in Sprague Dawley Rats induced by exposure to manual metal arc welding fumes. *Toxicol Sci* 2001; 63: 99-106.
13. **Holz O, Mucke M, Paasch K, Bohme S, Timm P, Richter K.** Repeated ozone exposure enhance bronchial allergen responses in subjects with rhinitis or asthma. *Clin Exp Allergy* 2002; 32: 6811-89.